



COLOQUINHO IF UFRJ



ALGUNS EFEITOS DO VÁCUO QUÂNTICO

Yuri Muniz

Instituto de Física - UFRJ

O CONCEITO DE VÁCUO

- O vácuo já atormentava filósofos da Grécia antiga;



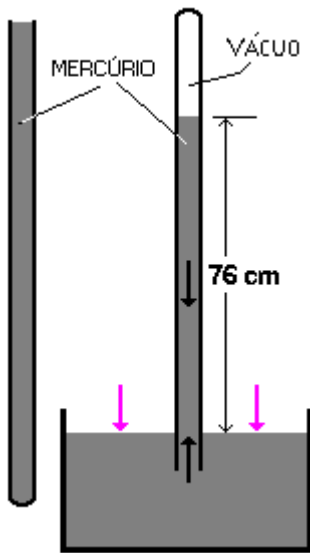
Scuola di Atene (1509 – 1511) – Raffaello Sanzio

- De **Aristóteles** (384-322 a.C.) até o século XVII:
“*Natura adhorret vacuum*”



O CONCEITO DE VÁCUO

- O barômetro de mercúrio de **Torricelli** (1644):

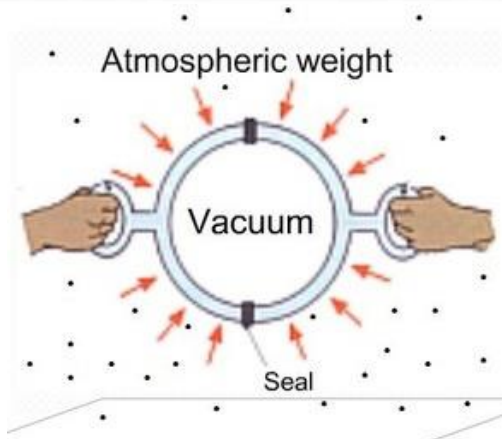


- Torricelli em uma carta para Michelangelo Ricci:
“*Noi viviamo sommersi nel fondo d'un pelago d'aria*“
(Vivemos submersos no fundo de um oceano de ar)



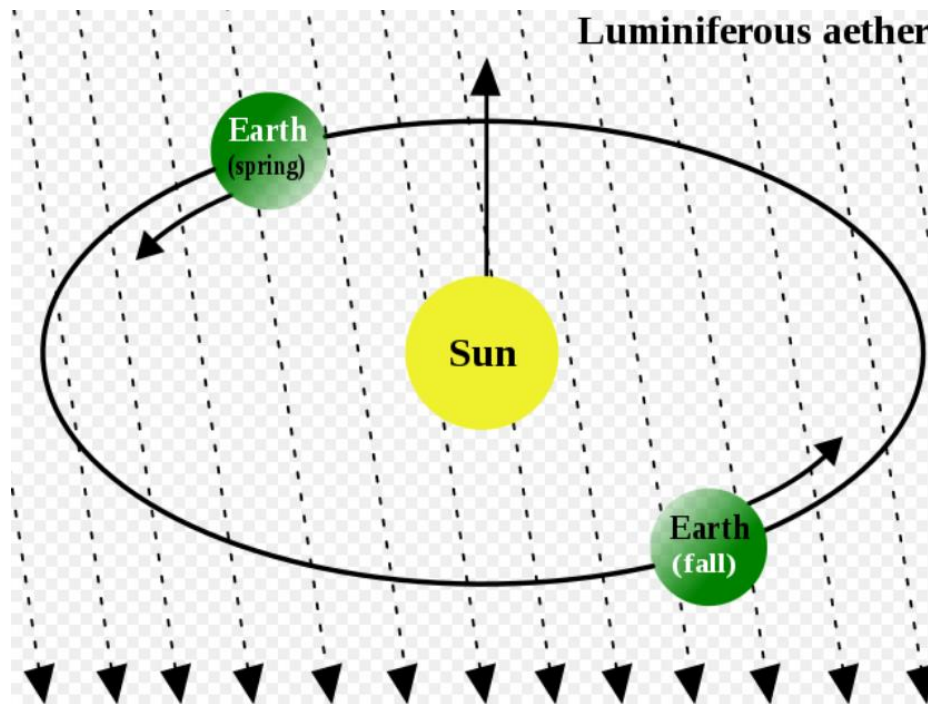
O CONCEITO DE VÁCUO

- O experimento dos hemisférios de Magdeburg realizado por **Otto von Guericke** (1657):



VÁCUO E ONDAS ELETROMAGNÉTICAS

- Ondas eletromagnéticas: existe a necessidade de um éter luminífero?
- Não! Experimento de Michelson-Morley (1887):

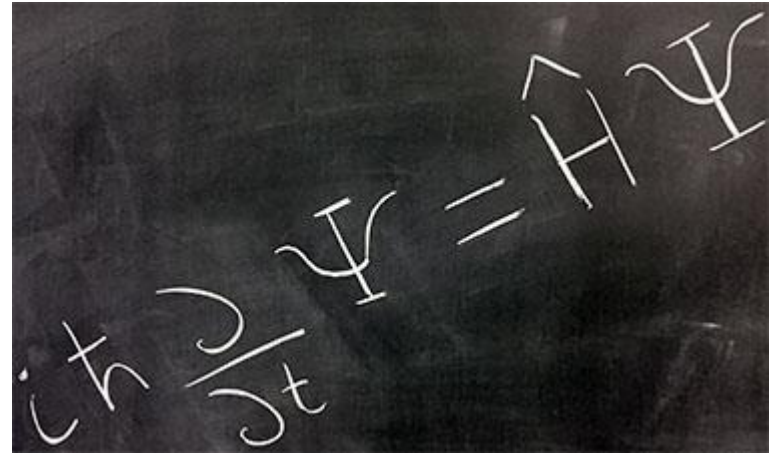


- Vácuo clássico: espaço vazio, inerte e insensível a estímulos externos.



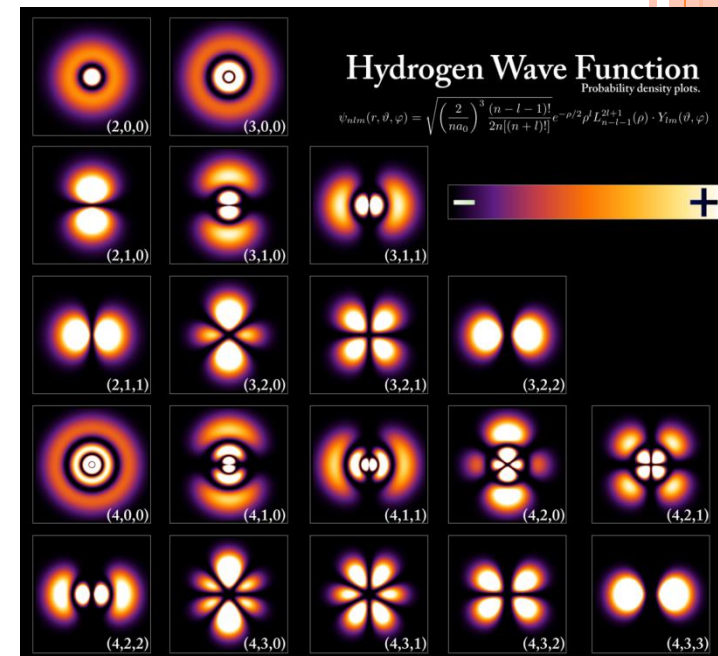
O ADVENTO DA MECÂNICA QUÂNTICA

- Teoria revolucionária do início do séc XX
- Dualidade onda-partícula;
- Quantização da energia;
- Teoria probabilística;
- Princípio de incerteza:



$$\Delta x \Delta p \geq \frac{\hbar}{2}$$

- Flutuações das grandezas físicas;
- Estabilidade do átomo.



FORÇAS DE VAN DER WAALS

- Johannes Diederik van der Waals (1837 – 1923):
tamanho das moléculas e as forças intermoleculares.
- Equação de estados para gases reais (1873):



$$\left(p + \frac{a}{V^2} \right) (V - b) = RT$$

James Clerk Maxwell:

“that there can be no doubt that the name of Van der Waals will soon be among the foremost in molecular Science”



FORÇAS DE VAN DER WAALS

- Forças de van der Waals de **orientação**: moléculas polares, interação dipolo-dipolo permanente

$$U = -\frac{2p_1^2 p_2^2}{3(4\pi\epsilon_0)^2 K_B T r^6}; \quad K_B T \gg \frac{p_1 p_2}{4\pi\epsilon_0 r^3}$$

- Força de van der Waals de **indução**: molécula polar induz um momento de dipolo na molécula apolar, dando origem à interação. Como $\mathbf{p}_2 = \alpha_2 \mathbf{E}_1$:

$$U_{21} \sim -\mathbf{p}_2 \cdot \mathbf{E}_1 \sim -\alpha_2 \mathbf{E}_1^2 \sim -\frac{\alpha_2 p_1^2}{(4\pi\epsilon_0)^2} \frac{1}{r^6}$$

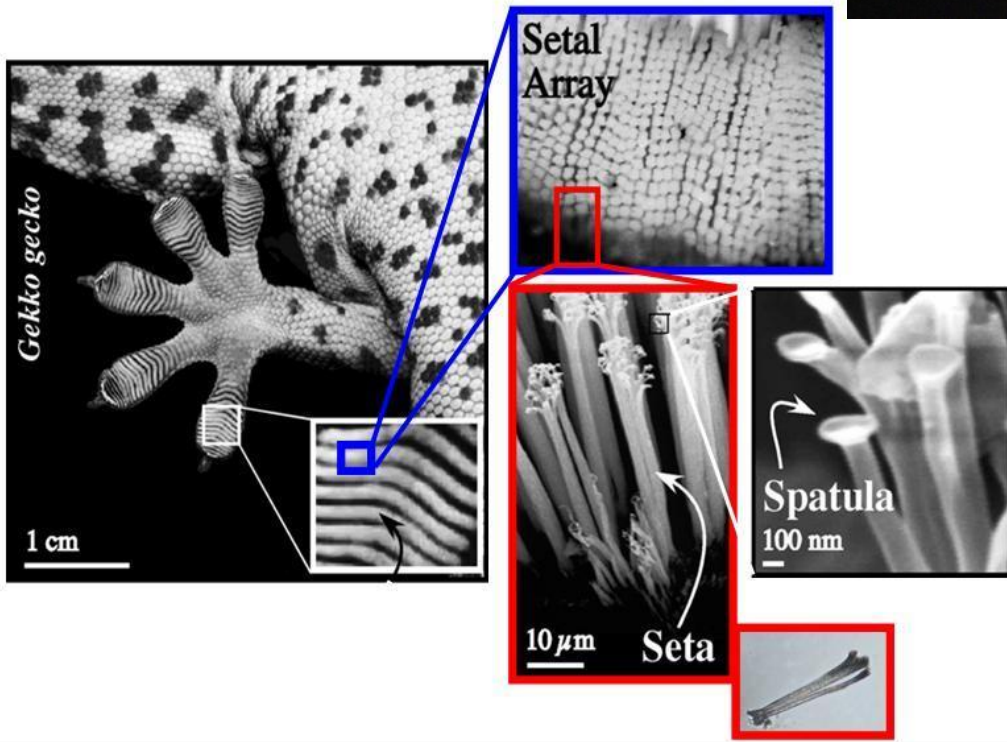
- Força de van der Waals de **dispersão**: moléculas apolares!
- Explicação via mecânica quântica (London 1930). Origem nas flutuações quânticas das distribuições de carga.

$$U_{\text{Lon}}(r) \approx -\frac{3\hbar\omega_0\alpha^2}{4r^6} \implies \vec{f}_{\text{Lon}} \approx -\frac{9\hbar\omega_0\alpha^2}{2r^7} \hat{r}$$


FORÇAS DE VAN DER WAALS DISPERSIVAS

Força responsável pelo mecanismo de adesão das lagartixas

K. Autumn *et al* PNAS 2002



Patas com milhões de cerdas (500.000/cm²) divididas em filamentos ainda menores (5000/cerda).

1 cerda: $F \approx 20\mu N$



FORÇAS DISPERSIVAS

- Experimento utilizando material sintético copiando as patas da lagartixa.

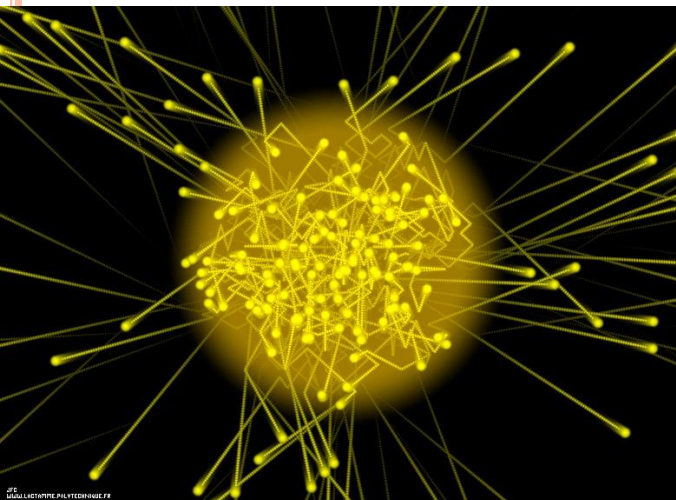


Geim *et al* Nature 2003



A ELETRODINÂMICA QUÂNTICA (EDQ)

- Teoria quântica do eletromagnetismo. Descreve a interação radiação-matéria.
- Descrição da luz em termos de quanta de energia (fótons).
- O campo eletromagnético livre é descrito por um conjunto infinito de osciladores harmônicos quânticos desacoplados.



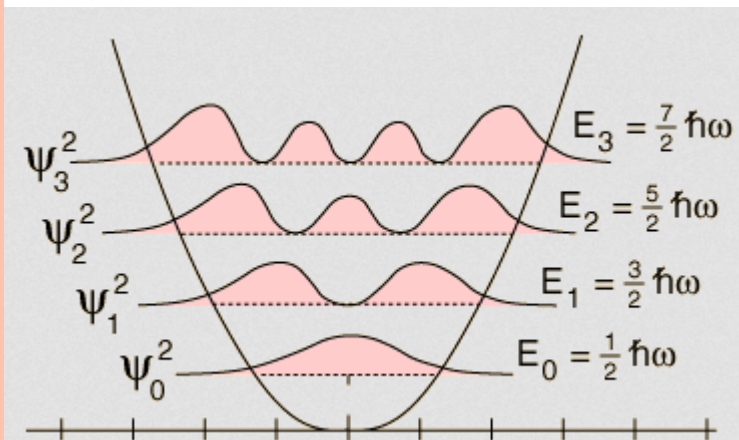
O OSCILADOR HARMÔNICO QUÂNTICO

- Hamiltoniano: $H = \frac{p^2}{2m} + \frac{1}{2}m\omega^2 x^2$

- Espectro de energia:

$$E_n = \left(n + \frac{1}{2} \right) \hbar\omega, \quad n = 0, 1, 2, \dots$$

- “n” quanta de energia.



Energia de ponto zero (EPZ):

$$E_0 = \frac{1}{2} \hbar\omega$$



ENERGIA DO CAMPO ELETROMAGNÉTICO

- Autoenergias do campo eletromagnético livre (na ausência de cargas e correntes):

$$E = \sum_{\mathbf{k}} \sum_{\alpha=1}^2 \left(n_{\mathbf{k}\alpha} + \frac{1}{2} \right) \hbar \omega_{\mathbf{k}}$$

$\mathbf{k} \rightarrow$ Vetor de onda do fóton. $\alpha \rightarrow$ Polarização do fóton.

$n_{\mathbf{k}\alpha} \rightarrow$ Número de fótons com vetor de onda \mathbf{k} e polarização α .

$\omega_{\mathbf{k}} = kc \rightarrow$ Frequência angular de oscilação.

$$\text{EPZ: } E_0 = \sum_{\mathbf{k}} \sum_{\alpha=1}^2 \frac{1}{2} \hbar \omega_{\mathbf{k}} = \infty$$

- Vácuo quântico:** longe de ser um espaço “vazio”!



PRINCÍPIO DE INCERTEZA E EPZ

- Veremos como a EPZ está fundamentalmente atrelada ao princípio de incerteza.

$$\begin{aligned} E = \langle H \rangle &= \frac{\langle P^2 \rangle}{2m} + \frac{1}{2} m \omega^2 \langle X^2 \rangle \\ &= \frac{(\Delta p)^2}{2m} + \frac{1}{2} m \omega^2 (\Delta x)^2 \end{aligned}$$

Usando a relação de incerteza mínima

$$\Delta p = \frac{\hbar/2}{\Delta x}$$

e minimizando a energia obtemos:

$$E(\Delta x) = \frac{\hbar^2}{8m(\Delta x)^2} + \frac{1}{2} m \omega^2 (\Delta x)^2$$

$$\frac{dE(\Delta x)}{d(\Delta x)} = 0 \implies E_0 = \frac{1}{2} \hbar \omega$$

Flutuações quânticas do vácuo \implies EPZ



EFEITOS O VÁCUO QUÂNTICO



O DESVIO LAMB

- Espectro **não-relativístico** do átomo de hidrogênio (Equação de **Schrödinger**):

$$E_n = -\frac{C}{n^2}, \quad n = 1, 2, 3, \dots$$

- Não depende dos números quânticos l e m .
Degenerescência!

- Espectro **relativístico** do átomo de hidrogênio (Equação de **Dirac**):

$$E_{nj} = mc^2 \left[1 + \left(\frac{\alpha}{n - (j + \frac{1}{2}) + \sqrt{(j + \frac{1}{2})^2 - \alpha^2}} \right)^2 \right]^{-1/2}$$

- Degenerescência residual: (Ex: $2s_{1/2}$ e $2p_{1/2}$)



O DESVIO LAMB

- **Lamb e Retherford** (1947) verificaram experimentalmente que na verdade:

$$E(2s_{1/2}) - E(2p_{1/2}) \approx 1 \text{ GHz}$$

- **Hans Bethe** (1947) soluciona o problema considerando o acoplamento do elétron com o campo quantizado.
- Interpretação: renormalização da massa do elétron.



Dirac:

“Nenhum progresso foi feito por 20 anos. Então veio um avanço, iniciado pela descoberta de Lamb e explicação do desvio Lamb, que fundamentalmente mudou o caráter da física teórica.”

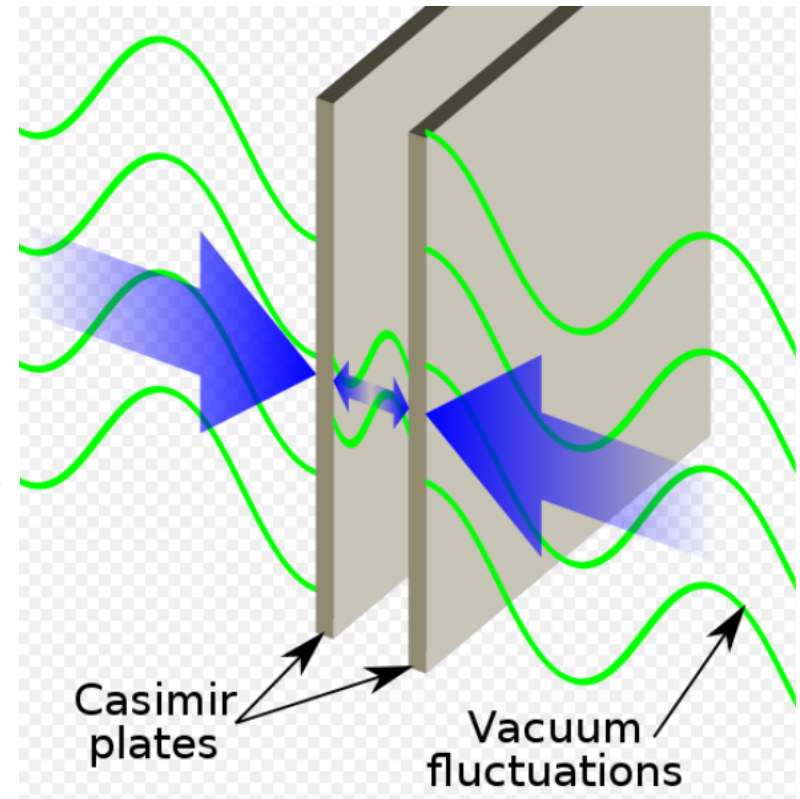


O EFEITO CASIMIR

- **Hendrik Brugt Gerhard Casimir (1948):** atração entre duas placas paralelas, neutras e condutoras no vácuo.

$$\frac{F(a)}{L^2} = -\frac{\pi^2 \hbar c}{240a^4}$$

$$a = 1 \mu m \implies P_{Cas} \approx 10^{-8} P_{atm}$$



$$L^2 = 1 \text{ cm}^2 \implies F \approx 10^{-7} \text{ N}$$



O EFEITO CASIMIR E AS FORÇAS DISPERSIVAS

- O efeito Casimir tem origem nas forças de van der Waals dispersivas.
- Estabilidade de colóides: desacordo entre teoria e experimento. A força de interação deveria cair mais rápido que $1/r^7$ para grandes distâncias.
- Conjectura de **Overbeek**: efeitos de retardamento a partir de distâncias tais que $r/c \sim 1/\omega_{mn}$
- **Casimir e Polder** (1948): “*The Influence of Retardation on the London-vdW Forces*“.

$$U_{\text{Ret}}(r) = -\frac{23\hbar c}{4\pi} \frac{\alpha_A \alpha_B}{r^7} \implies f_{\text{Ret}} \sim \frac{1}{r^8}$$


O EFEITO CASIMIR E AS FORÇAS DISPERSIVAS

- Esse resultado foi obtido após cálculos muito longos em teoria de perturbação de quarta ordem em EDQ.
- Comentário de **Casimir e Polder** ao final do artigo de 1948: *“The very simple form of Eq. (56) and the analogous formula (25) suggest that **it might be possible to derive these expressions, perhaps apart from the numerical factors, by more elementary considerations.** This would be desirable since it would also give a more physical background to our result, a result which in our opinion is rather remarkable. So far we have not been able to find such a simple argument.”*



O EFEITO CASIMIR E AS FORÇAS DISPERSIVAS

- **A conversa com Niels Bohr e a energia de ponto-zero:** *'In the summer or autumn 1947 ... (but I am not absolutely certain that it was not somewhat earlier or later) I mentioned my results to Niels Bohr, during a walk. "That is nice", he said, "That is something new." I told him that I was puzzled by the extremely simple form of the expressions for the interaction at very large distance and he mumbled something about **zero-point energy**. That was all, but it put me on a new track.'*



O EFEITO CASIMIR E AS FORÇAS DISPERSIVAS

- *“I found that calculating changes of zero-point energy really leads to the same results as the calculations of Polder and myself...”*
(Colloque sur la theorie de la liaison chimique, Paris, abril de 1948).
- Publicado em : *J :Chim:Phys: 46; 407 1949*
- *“On 29 May, 1948, I presented my paper On the attraction between two perfectly conducting .. at ... It was published in the course of the year..”*
- Publicado em : *Proc: K: Ned: Akad: Wet: 51; 793 (1948)*



O MÉTODO DE CASIMIR

- A novidade do efeito Casimir não reside no fato de dois corpos neutros e sem multipolos permanentes se atraírem, mas sim no método utilizado.

- Energia do vácuo do campo eletromagnético:

$$E_o = \sum_{\mathbf{k}} \sum_{\alpha=1}^2 \frac{1}{2} \hbar \omega_{\mathbf{k}} = \infty$$

- No entanto, a presença de corpos altera o vácuo! Idealizando, podemos tratar as placas como condutores perfeitos. Os campos devem satisfazer

$$\vec{E} \times \hat{n}|_{placas} = \vec{0}; \quad \vec{B} \cdot \hat{n}|_{placas} = 0.$$

- Restrição sobre os possíveis vetores \mathbf{k} !



O MÉTODO DE CASIMIR

- A energia de interação eletromagnética entre as placas deve ser a diferença de energia do campo na ausência e na presença de placas.
- Mas ambas as energias são infinitas... Faz-se necessário a introdução de um parâmetro regularizador s .

$$\mathcal{E}_{Cas} := \lim_{s \rightarrow 0} \left[\left(\sum_{\vec{k}\alpha} \frac{1}{2} \hbar \omega_{\vec{k}} \right)_I - \left(\sum_{\vec{k}\alpha} \frac{1}{2} \hbar \omega_{\vec{k}} \right)_{II} \right]$$

I – regularizada e **com** condições de contorno.

II – regularizada mas **sem** condições de contorno.



UM EXEMPLO SIMPLIFICADO: EFEITO CASIMIR EM UMA DIMENSÃO

- Condição de contorno (CC): o campo (em 1D) se anula em $x = 0$ e $x = a$ (Dirichlet).
- CC $\implies \omega_n = |k_x|c = n\pi c/a$
- EPZ com CC não regularizada:

$$\sum_{n=1}^{\infty} \frac{1}{2} \hbar \omega_n = \frac{\hbar \pi c}{2a} \sum_{n=1}^{\infty} n = \frac{\hbar \pi c}{2a} (1 + 2 + 3 + \dots)$$

- EPZ sem CC não regularizada:

$$\int_{-\infty}^{\infty} \frac{a}{2\pi} dk_x \frac{1}{2} \hbar |k_x| c = \frac{a \hbar c}{2\pi} \int_0^{\infty} d\kappa \kappa$$



UM EXEMPLO SIMPLIFICADO: EFEITO CASIMIR EM UMA DIMENSÃO

- Inserindo o parâmetro regularizador ϵ :

$$\begin{aligned}\mathcal{E}_c(a) &= \lim_{\epsilon \rightarrow 0} \left\{ \frac{\hbar c}{2} \sum_{n=1}^{\infty} \frac{n\pi}{a} e^{-\epsilon n\pi/a} - \frac{a\hbar c}{2\pi} \int_0^{\infty} d\kappa \kappa e^{-\epsilon\kappa} \right\} \\ &= \lim_{\epsilon \rightarrow 0} \left\{ \frac{\hbar c}{2} \left(-\frac{\partial}{\partial \epsilon} \right) \sum_{n=1}^{\infty} e^{-\epsilon n\pi/a} + \frac{a\hbar c}{2\pi} \left(\frac{\partial}{\partial \epsilon} \right) \int_0^{\infty} d\kappa e^{-\epsilon\kappa} \right\} \\ &= \lim_{\epsilon \rightarrow 0} \left\{ -\frac{\hbar c}{2} \frac{\partial}{\partial \epsilon} \left(\frac{1}{e^{\epsilon\pi/a} - 1} \right) + \frac{a\hbar c}{2\pi} \frac{\partial}{\partial \epsilon} \left(\frac{1}{\epsilon} \right) \right\} \\ &= \frac{\hbar c\pi}{8a} \lim_{\epsilon \rightarrow 0} \left\{ \frac{1}{\sinh^2(\epsilon\pi/2a)} - \left(\frac{2a}{\pi\epsilon} \right)^2 \right\}.\end{aligned}$$

- Ambos os termos divergem para $\epsilon \rightarrow 0$, porém:

$$\frac{1}{\sinh^2(\epsilon\pi/2a)} = \left(\frac{2a}{\pi\epsilon} \right)^2 - \frac{1}{3} + \mathcal{O}(\epsilon^2) \implies \mathcal{E}_c(a) = -\frac{\hbar\pi c}{24a}$$



SOLUÇÃO ALTERNATIVA

- O conceito de extensão analítica: todos conhecemos a série geométrica

$$\sum_{n=0}^{\infty} x^n = \frac{1}{1-x}$$

- Essa representação vale para $|x| < 1$. Porém, a função

$$\frac{1}{1-x} = h(x)$$

não é definida apenas em $x = 1$. Podemos dizer que h é a extensão analítica da série em vermelho.

- Todavia, para $x = 2$ a série é divergente!

$$\sum_{n=0}^{\infty} 2^n = 1 + 2 + 4 + 8 + \dots = \sum_{n=0}^{\infty} x^n \Big|_{x=2} = \infty$$

- Mas a função h não é! “Podemos” escrever

$$1 + 2 + 4 + 8 + \dots = -1.$$



SOLUÇÃO ALTERNATIVA

- Para a EPZ em 1D:

$$\sum_{n=1}^{\infty} \frac{1}{2} \hbar \omega_n = \frac{\hbar \pi c}{2a} \sum_{n=1}^{\infty} n = \frac{\hbar \pi c}{2a} (1 + 2 + 3 + \dots)$$

- A série em rosa diverge! Porém

$$(1 + 2 + 3 + \dots) = \left(\frac{1}{1^{-1}} + \frac{1}{2^{-1}} + \frac{1}{3^{-1}} + \dots \right) = \sum_{n=1}^{\infty} \frac{1}{n^s} \Big|_{s=-1}$$

- Para $Re(s) > 1$, a série coincide com a função zeta de Riemann, definida em todo plano complexo. Portanto

$$\left\{ \sum_{n=1}^{\infty} \frac{1}{n^s} \right\}_{ext.analitica} = \zeta_R(s)$$

- A zeta de Riemann é a extensão analítica da série. Se tomarmos no lugar da série, sua extensão analítica...

$$1 + 2 + 3 + 4 + \dots = \zeta_R(-1) = -\frac{1}{12} \implies \mathcal{E}_c(a) = -\frac{\hbar \pi c}{24a}$$

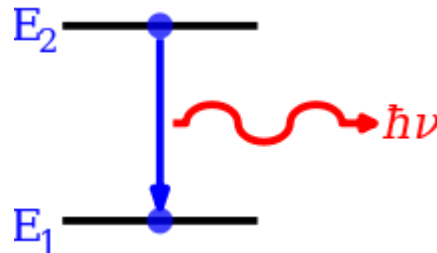
SOLUÇÃO ALTERNATIVA

- **O Ministério da Educação adverte:** o uso prolongado dessa explicação para o valor finito de série divergente pode causar danos a sua saúde matemática; aprenda logo extensão analítica em Métodos Matemáticos. **(M. V. Cougo-Pinto)**



EMISSÃO ESPONTÂNEA(EE)

- Átomo excitado, mesmo que isolado de tudo, acaba decaindo para o estado fundamental.



- Razão: Um átomo, mesmo no vácuo, jamais deixa de ser afetado pelas flutuações quânticas do campo.
- Não pode ser entendido somente com mecânica quântica usual, pois nesse contexto o estado excitado é estacionário.
- Porém, átomo excitado + zero fóton não é um estado estacionário do Hamiltoniano do sistema átomo-campo

EE

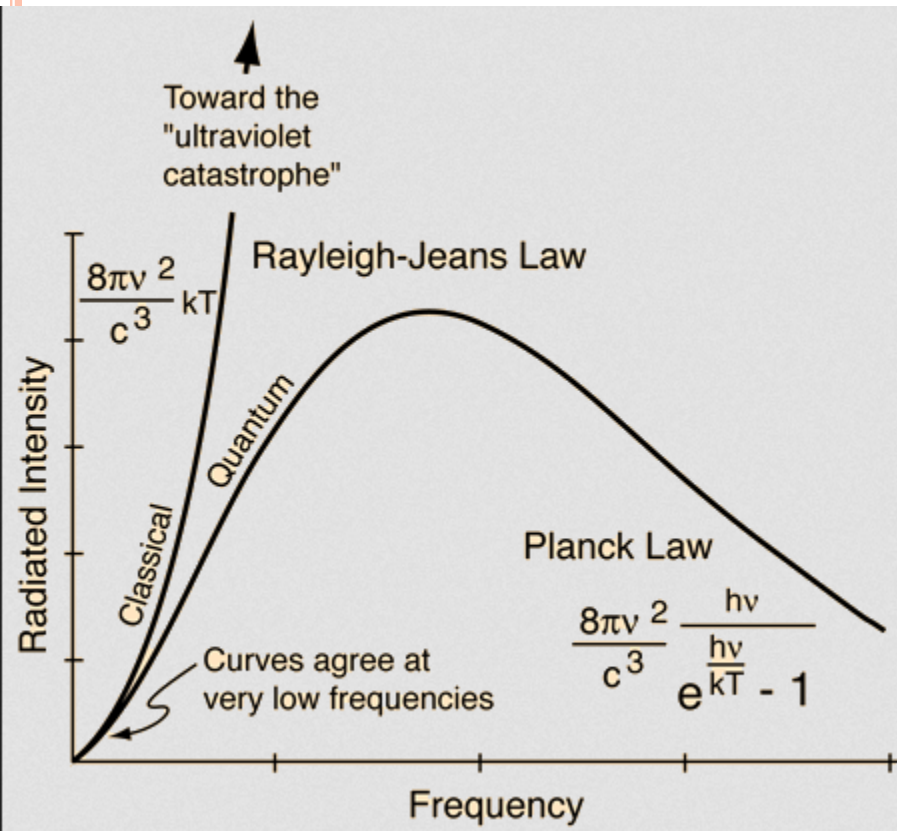
- O fenômeno é muito presente em nossas vidas. Praticamente toda a luz que vemos é proveniente de emissão espontânea!



UMA BREVE HISTÓRIA

- Teoria de Planck sobre radiação de corpo negro (1900):

$$\rho_{em}(\nu) = \frac{8\pi h\nu^3/c^3}{e^{h\nu/K_B T} - 1}$$



Mesmo após o grande avanço de Planck, ainda tentavam entender a origem da lei de Planck de um ponto de vista mais fundamental.



UMA BREVE HISTÓRIA

- Einstein em 1916 escreveu uma carta para seu amigo Michele Besso onde disse:

*“ A splendid light has dawned
on me about the absorption
and emission of radiation”*

- Coeficientes A e B de Einstein (1917): introduz a ideia emissão espontânea e estimulada e, com isso, reobtem o espectro de Planck.
- N_1 átomos com energia E_1 e N_2 com energia E_2



UMA BREVE HISTÓRIA

- Equilíbrio térmico:

$$(\dot{N}_1)_{abs} + (\dot{N}_1)_{est} + (\dot{N}_1)_{esp} = 0$$

- As taxas de emissão e absorção são dadas por:

$$(\dot{N}_1)_{abs} = -B_{12}N_1\rho(\omega_o) \quad , \quad (\dot{N}_1)_{est} = B_{21}N_2\rho(\omega_o) \quad ,$$

$$(\dot{N}_1)_{esp} = A_{21}N_2$$

- Einstein utilizou ainda a teoria de Bohr , $\omega_o = \frac{E_2 - E_1}{\hbar}$ e a teoria de Boltzmann $\frac{N_2}{N_1} = e^{-\hbar\omega_o/K_bT}$.

$$\implies \rho_{em}(\nu) = \frac{8\pi h\nu^3 / c^3}{e^{h\nu/K_B T} - 1}$$



UMA BREVE HISTÓRIA

- Einstein calculou ainda a razão entre as taxas de emissão espontânea e estimulada que, para o espectro visível é (para temperatura ambiente):

$$\frac{A_{21}}{B_{21}\rho(\omega_0)} = e^{h\nu/K_B T} - 1 \approx 10^{39}$$

- EE é muito mais comum!
- Mesmo para uma fonte térmica como o **sol** (T = 6000K), a taxa de EE ainda é centenas de vezes maior que a taxa de emissão estimulada.

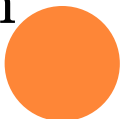


UMA BREVE HISTÓRIA

- Dirac (1927): “*The quantum theory of the emission and absorption of radiation*”.
- Obteve a taxa de emissão espontânea de um átomo utilizando a EDQ.

$$\Gamma_{21}^{(0)} = \frac{4}{3} \frac{|\mathbf{d}_{21}|^2 \omega_{21}^3}{\hbar}$$

- Na verdade, nesse artigo ele desenvolve por completo o formalismo da EDQ **não-relativística** e aplica em processos de emissão e absorção da luz.



EE E FLUTUAÇÕES QUÂNTICAS

- A EE está relacionada as flutuações quânticas do vácuo. De fato, ela pode ser pensada, em partes, como uma emissão estimulada pelas flutuações. Tomemos

$$A_{21} = B_{21} \rho_{pz}(\omega_o) \quad , \quad \rho_{pz}(\omega_o) \rightarrow \text{Densidade de EPZ} \quad ,$$

$$\begin{aligned} \rho_{pz}(\omega_o) &= \left(\frac{1}{2} \hbar \omega_o \right) \frac{1}{V} \sum_{\mathbf{k}} \sum_{\alpha=1}^2 \delta(\omega_k - \omega_o) \\ &= \left(\frac{1}{2} \hbar \omega_o \right) \frac{1}{V} \frac{2V}{(2\pi)^3} \int d^3 \mathbf{k} \delta(\omega_k - \omega_o) \\ &= \frac{\hbar \omega_o^3}{2\pi^2 c^3} \end{aligned}$$

$$B_{21} = \frac{4\pi^2 |\mathbf{d}_{21}|^2 c^3}{3\hbar^2} \rightarrow \text{Cálculo de mecânica quântica usual.}$$



EE E FLUTUAÇÕES QUÂNTICAS

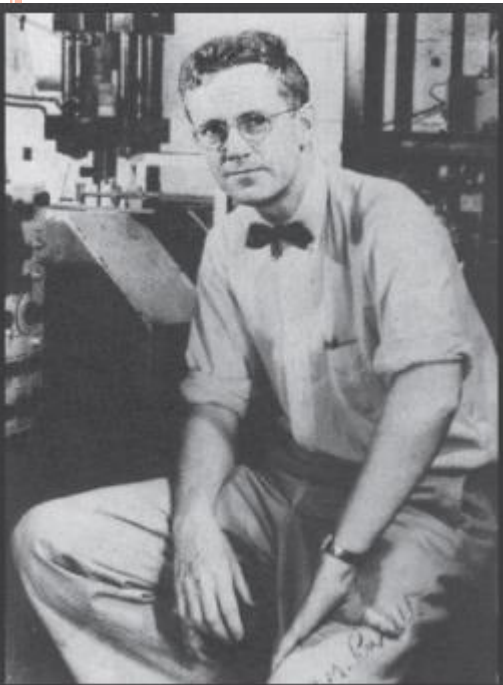
$$\implies A_{21} = \frac{2|\mathbf{d}_{21}|^2\omega_o^3}{3\hbar}$$

- A taxa de EE devido a densidade de energia de ponto zero é metade do valor obtido por Dirac!
- De fato, a EE é um efeito devido também a reação de radiação. Tanto o campo de radiação quanto as flutuações do vácuo contribuem igualmente para a emissão.



O EFEITO PURCELL

- Edward Mills Purcell (1946) descobre que objetos na vizinhança de sistemas atômicos alteram a taxa de emissão espontânea
- Razão: a presença de objetos altera o vácuo e conseqüentemente a densidade de EPZ.



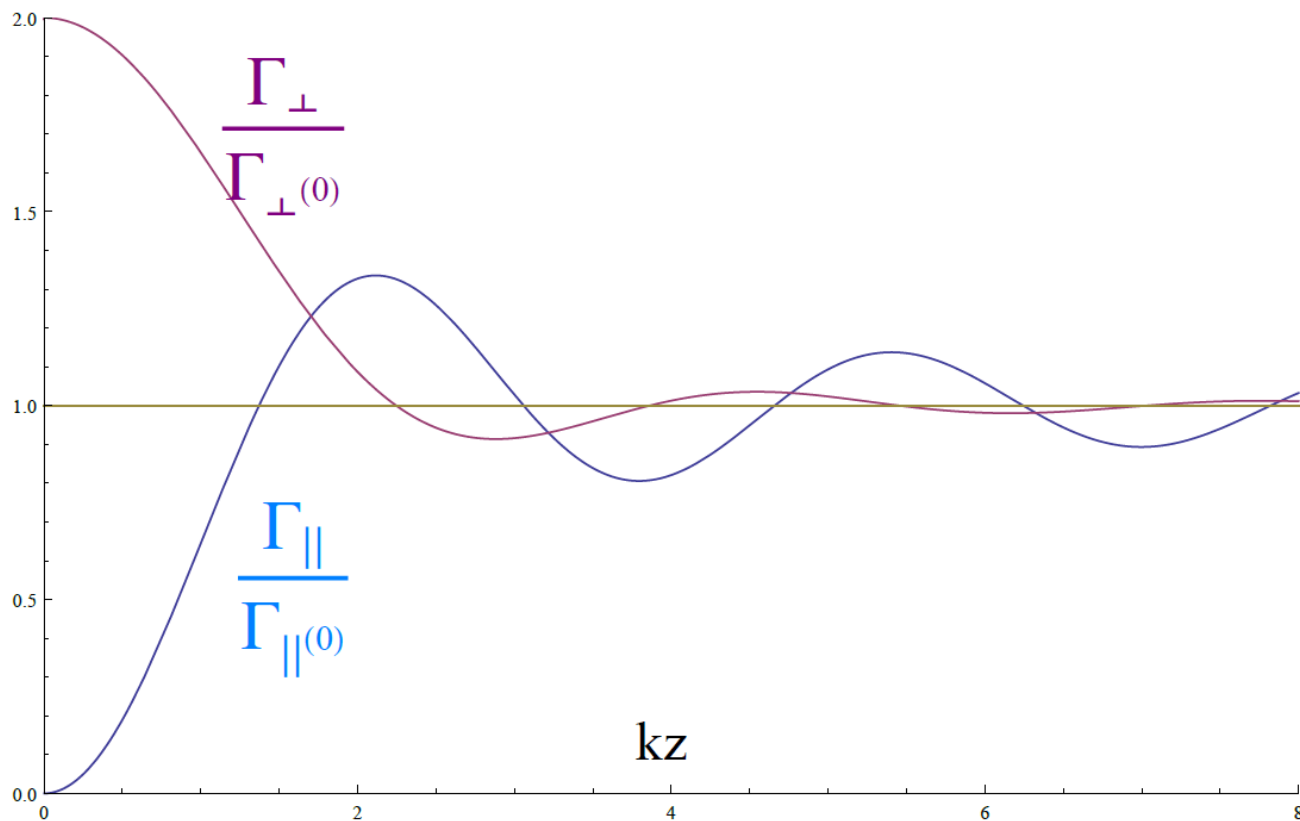
$$\Gamma(\mathbf{R}) = \frac{\pi}{\epsilon_0 \hbar} \sum_{\mathbf{k}e} \omega_k |\mathbf{d}_{eg} \cdot \mathbf{A}_{\mathbf{k}e}(\mathbf{R})|^2 \delta(\omega_k - \omega_{eg})$$

Inicialmente os físicos se mostraram incrédulos, afinal, como o átomo pode perceber a fronteira sem antes emitir um fóton para interagir?



O EFEITO PURCELL

- O fato é que o efeito Purcell ocorre. Corpos na vizinhança de um átomo podem aumentar, diminuir ou até mesmo suprimir a EE.

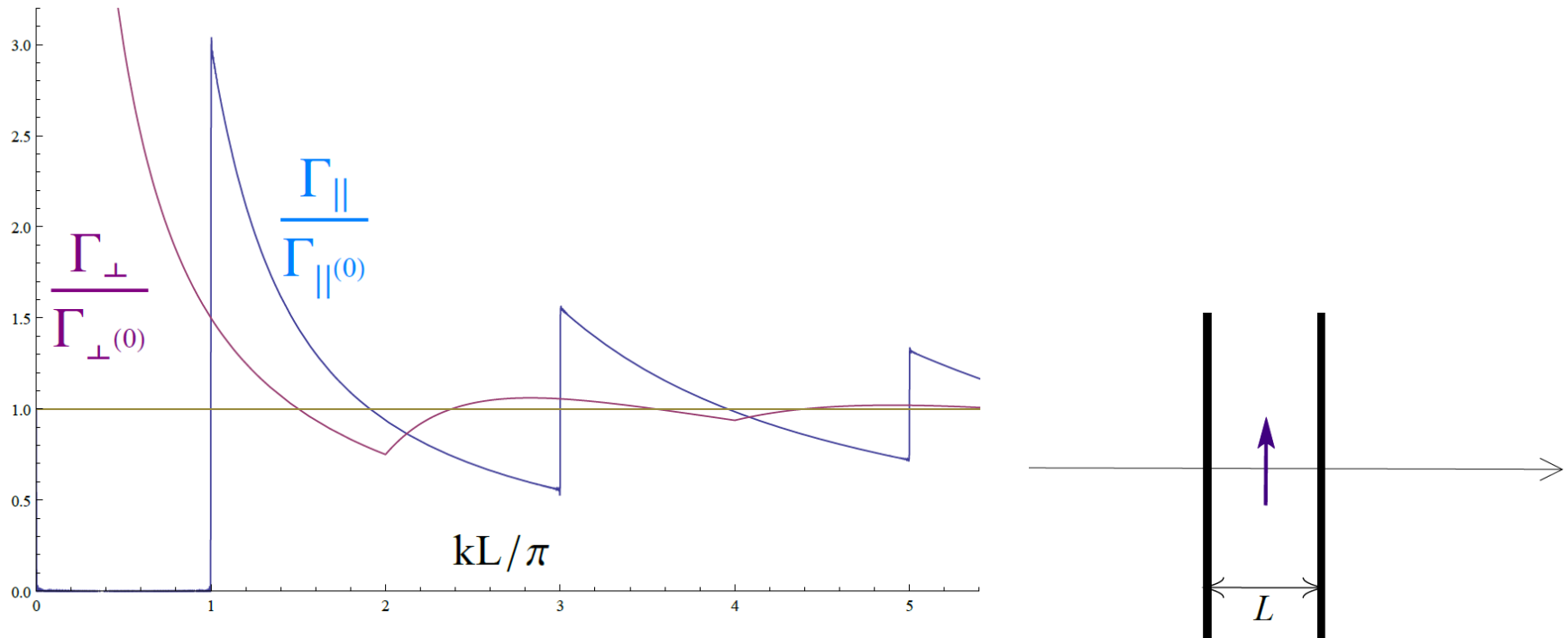


Átomo a uma distância z de uma placa perfeitamente condutora.



A SUPRESSÃO DA EE DE UM FÓTON

- Em certas ocasiões, a EE pode ser até mesmo suprimida



- Se o momento de dipolo for paralelo às placas, para distâncias muito pequenas:

$$\mathbf{d}_{eg} \cdot \mathbf{A}_{\mathbf{k}e}(\mathbf{R}) = 0 \implies \text{Supressão}$$



COMENTÁRIOS FINAIS

- Apesar de todas as discussões sobre a EPZ, é inegável que as flutuações quânticas do vácuo tem consequências mensuráveis em física!
- Esse seminário foi apenas uma pequena amostra de fenômenos interessantes associados ao vácuo quântico.
- Outros exemplos: criação de par elétron-pósitron pela aplicação de campo externo, efeito Casimir dinâmico, efeito Unruh-Davies, momento anômalo do elétron, entre outros.



PRINCIPAIS REFERÊNCIAS

- S K Lamoreaux, *Physics Today*, **February** (2007) 40.
- C. Farina, *Braz. J. Phys.* **36** (2006) 1137-1149.
- C. Farina, F C Santos and A C Tort, *Am. J. Phys.* **67** (1999) 344.
- P.W. Milonni, *Am. J. Phys.* **52** (1984) 340.

- P.W. Milonni, *The Quantum Vacuum*, Academic Press (1993)





That's all Folks!